

Министерство высшего и среднего специального образования
Р С Ф С Р

Горьковский ордена Трудового Красного Знамени
научно-исследовательский радиофизический институт (НИРФИ)

П р е п р и н т № 2 5 4

К РЕШЕНИЮ ЗАДАЧИ ЛЭМБА
ДЛЯ ОДНОРОДНОГО ПОЛУПРОСТРАНСТВА

А.В. Разин

Горький 1988

Р а з и н А. В.

К РЕШЕНИЮ ЗАДАЧИ ЛЭМБА ДЛЯ ОДНОРОДНОГО ПОЛУПРОСТРАНСТВА//
Препринт № 254. - Горький: НИРФИ. - 1988. - 34 с.

УДК 534.232

Рассмотрена генерация упругих волн в однородном полупространстве поверхностным точечным импульсным источником силы, действующей нормально к границе. Двойные интегралы Фурье, описывающие скалярный и векторный потенциалы, а также смещения, преобразованы к однократным контурным интегралам, что позволяет подробно проанализировать поля вблизи фронтов продольной, поперечной и конической волн. Описана процедура получения выражений для смещений в виде легко вычисляемых на ЭВМ однократных интегралов от действительных гладких функций в конечных пределах. Получены точные аналитические выражения для вертикальных смещений на границе полупространства и на вертикали под источником.

I. Введение

В теории упругих волн одной из фундаментальных проблем является задача Лэмба, впервые поставленная в 1904 г. В работе /1/ Г. Лэмб, в частности, рассмотрел смещение поверхности однородного полупространства под воздействием импульсного поверхностного источника, который записывался в виде вертикальных напряжений, заданных на некотором конечном участке границы. В настоящее время под термином "задача Лэмба" понимается возбуждение упругих волн в твердом полупространстве самыми разнообразными как поверхностными, так и заглубленными источниками /2/, причем обычно рассматриваются два типа источников: поверхностные силовые нагрузки, распределенные по области в виде бесконечно длинной полосы (или тонкой нити) и круга конечного или бесконечно малого радиуса (точечный источник) / 2-7 /. Наибольший интерес для приложений, в частности, для проблем вибрационного просвещивания Земли, представляет исследование источников второго типа.

Для выяснения физических процессов, происходящих при генерации упругих волн в полупространстве поверхностными источниками, наиболее целесообразным является рассмотрение точечной нормальной к границе нагрузки, зависимость которой от времени описывается дельта-функцией Дирака. Решение задачи Лэмба для точечного импульсного источника позволяет подробно проанализировать вклад в поле смещений различных типов волн, которые разделяются по временем прихода.

Решение осесимметричной нестационарной задачи Лэмба нетрудно записать в виде двойных интегралов Фурье, для вычисления которых разработан ряд методов, основанных на теории функций комплексной переменной и контурном интегрировании /2, 8/. При использовании метода Каньяра-де Хула путь интегрирования, первоначально проходящий по действительной оси, преобразуется к кривой сложного вида, проходящей в

комплексной плоскости и определяемой свойствами среды и взаимным расположением источника и приемника /2/. В этом случае отыскание пути интегрирования, например, для слоистых сред оказывается довольно сложным. Аналогичные трудности возникают и при использовании методов контурного интегрирования, описанных в монографии /8/. Указанные затруднения снимаются при использовании развитого в /9/ метода вычисления двойных интегралов Фурье, описывающих импульсные акустические поля. Применяемый в /9/ подход удобен тем, что он позволяет свести двойные интегралы с бесконечными пределами к однократному контурному интегралу, причем контур интегрирования имеет универсальный вид для сред как с одной, так и со многими плоскими границами раздела. Представление импульсных волновых полей в виде однократного интеграла по замкнутому контуру является весьма удобным для их аналитических оценок вблизи фронтов волн. При произвольном расположении источника и точек наблюдения поле может быть записано в виде суммы некоторого алгебраического выражения, содержащего только элементарные функции, и однократного интеграла от гладкой действительной функции в конечных пределах, вычисление которого с помощью ЭВМ не представляет труда.

Метод контурного интегрирования /9/ использовался для рассмотрения отражения акустических импульсов от границы раздела двух газообразных сред, а также переходного излучения в акустике /10,11/. Представляет интерес применение этого метода для исследования процессов генерации сейсмических колебаний.

В настоящей работе решена задача о возбуждении упругих волн в однородном полупространстве поверхностным точечным импульсным воздействием, перпендикулярным границе. Проведено подробное исследование выражений для скалярного и векторного потенциалов смещений вблизи фронтов продольной и поперечной сферических волн, а также вблизи переднего и заднего фронтов конической волны. Описана процедура вычисления двойных интегралов Фурье, определяющих сейсмические поля к лягко вычисляемым на ЭВМ однократным интегралам от действительных функций в конечных пределах. Для практически важных частных случаев – для точек наблюдения, расположенных на поверхности полупространства и на вертикали под источником, получены точные аналитические выражения для вертикальных смещений в элементарных функциях.

2. Постановка задачи и интегральные выражения для потенциалов

Итак, пусть плоскость xOy декартовой системы координат совпадает с поверхностью однородного изотропного твердого тела, занимающего полупространство $z > 0$ и характеризуемого плотностью ρ и скоростями продольной и поперечной волн соответственно C_l и C_t . На границе твердого тела $z = 0$ заданы условия

$$\sigma_{xz} = \sigma_{yz} = 0, \quad \sigma_{zz} = -\rho, \quad (1)$$

где σ_{ik} – тензор напряжений, а величина ρ , имеющая размерность давления, характеризует нормальное к границе воздействие. Будем рассматривать точечный импульсный источник

$$\rho = F \delta(x) \delta(y) \delta(t), \quad (2)$$

где t – время и $\delta(\xi)$ – дельта-функция Дирака.

Введем скалярный Ψ и векторный \vec{A} потенциалы смещений \vec{u} так, что

$$\vec{u} = \operatorname{grad} \Psi + \operatorname{rot} \vec{A}, \quad \operatorname{div} \vec{u} \cdot \vec{A} = 0.$$

Для потенциалов смещений справедливы уравнения

$$\Delta \Psi - \frac{1}{C_l^2} \frac{\partial^2 \Psi}{\partial t^2} = 0,$$

$$\Delta \vec{A} - \frac{1}{C_t^2} \frac{\partial^2 \vec{A}}{\partial t^2} = 0,$$

решения которых совместно с граничными условиями (1), (2) нетрудно представить в следующем интегральном виде:

$$\Psi = \int_{-\infty}^{\infty} d\omega \int_0^{\infty} T_l(\omega, k) e^{-i\omega t + i\alpha_l z} J_0(kr) dk, \quad (3)$$

$$A = \int_{-\infty}^{\infty} d\omega \int_0^{\infty} T_t(\omega, k) e^{-i\omega t + i\alpha_t z} J_1(kr) dk, \quad (4)$$

причем при выводе последнего соотношения учтено, что вследствие цилиндрической симметрии задачи вектор \vec{A} может иметь только одну компоненту в направлении единичного орта азимутального угла \vec{e}_φ : $\vec{A} = A \vec{e}_\varphi$. В выражениях (3), (4)

$$T_l(\omega, k) = \frac{F(k_t^2 - 2k^2)}{4\pi^2 \rho C_t^2 R_0(\omega, k)}, \quad T_t(\omega, k) = \frac{F i k x_t}{2\pi^2 \rho C_t^2 R_0(\omega, k)},$$

$$R_0(\omega, k) = (k_t^2 - 2k^2)^2 + 4k^2 x_t^2,$$

$$x_{l,t} = \sqrt{k_{l,t}^2 - k^2},$$

$K_{l,t} = \omega/C_{l,t}$ - волновые числа продольной и поперечной волн для циклической частоты ω , $r = \sqrt{x^2 + y^2}$ - горизонтальное расстояние от источника до точки наблюдения, J_0 и J_1 - функции Бесселя соответственно нулевого и первого порядка. Из условия отсутствия возмущений в среде при $t < 0$ следует, что контур интегрирования по ω в (3), (4) должен проходить выше точек ветвления $\omega = \pm C_{l,t} K$, т.е. $\Im \omega > 0$. Из условия ограниченности подынтегральных выражений в (3), (4) при $z \rightarrow \infty$ следует считать, что

$$\sqrt{\omega^2/C_{l,t}^2 - k^2} = i \left| \sqrt{k^2 - \omega^2/C_{l,t}^2} \right| \text{ при } k > \frac{|\omega|}{C_{l,t}}.$$

3. Исследование скалярного потенциала

Рассмотрим вначале скалярный потенциал, определяющий поле смещений в продольной волне. В интеграле (3) сделаем замену переменной интегрирования /9/

$$\omega = C_l K' x, \quad K = K'. \quad (5)$$

При этом

$$\psi = \int_{-\infty}^{\infty} T_l(x) I_l(x) dx,$$

где

$$T_t(x) = \frac{FC_L(a^2x^2 - 2)}{4\pi^2\rho c_t^2 [(a^2x^2 - 2)^2 + 4\sqrt{x^2 - 1}\sqrt{a^2x^2 - 1}]},$$

$$a^2 = c_t^2 / c_s^2,$$

$$I_t(x) = \int_0^\infty \exp[-ik'(c_t tx - z\sqrt{x^2 - 1})] J_0(k'r) dk'. \quad (6)$$

Поскольку контур интегрирования по ω в (3) проходит выше действительной оси, $\operatorname{Im} \omega > 0$, то в соответствии с (5) контур L_x также проходит в области $\operatorname{Im} x > 0$. Однако при некоторых значениях $\operatorname{Im} x$ интеграл (6) может стать расходящимся. Следовательно, контур L_x не может проходить произвольно в области $\operatorname{Im} x > 0$, и на величину $\operatorname{Im} x$ необходимо наложить ограничение. Это удобно сделать путем введения в подынтегральное выражение (6) регуляризирующего множителя $\exp(-\lambda k')$,

$\lambda \rightarrow +0$ /9/:

$$I_t(x) = \int_0^\infty \exp[-ik'(c_t tx - z\sqrt{x^2 - 1} - i\lambda)] J_0(k'r) dk'. \quad (6')$$

Величина $\operatorname{Im} x$ на пути интегрирования L_x будет при этом определяться значением λ . Обоснование замены (5) и исследование сходимости интеграла (6') содержится в /9/. Здесь лишь отметим, что введение регуляризирующего множителя соответствует переходу от точечного источника к распределенному,

$$\delta(x)\delta(y) \rightarrow \frac{\lambda}{2\pi(\lambda^2 + r^2)^{3/2}}.$$

Все дальнейшие вычисления будут выполнены при $\lambda \neq 0$, результаты для точечного источника можно получить путем предельного перехода $\lambda \rightarrow +0$.

Вычисляя интеграл (6'), выражение для скалярного потенциала запишем в виде:

$$\Psi = \frac{FC_L}{4\pi^2\rho c_t^2} \int_{L_x} \frac{(a^2x^2 - 2) dx}{[(a^2x^2 - 2)^2 + 4\sqrt{x^2 - 1}\sqrt{a^2x^2 - 1}]} F_t(x), \quad (7)$$

где $F_t(x) = \sqrt{r^2 - (c_t tx - z\sqrt{x^2 - 1} - i\lambda)^2}$. Входящие под интеграл (7) аналитические функции $\sqrt{x^2 - 1}$, $\sqrt{a^2x^2 - 1}$, $F_t(x)$ опреде-

лены на комплексной плоскости X следующим образом:

$$\lim_{x \rightarrow \infty} \sqrt{x^2 - 1} = x, \quad (8)$$

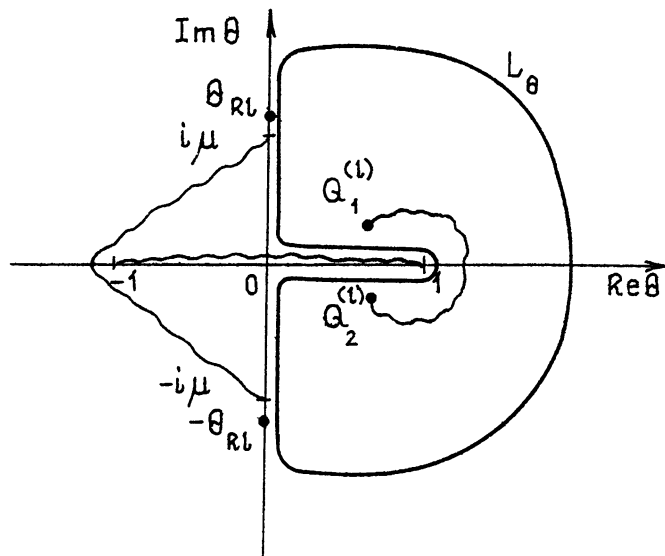
$$\lim_{x \rightarrow \infty} \sqrt{a^2 x^2 - 1} = ax,$$

$$\lim_{x \rightarrow 0} F_1(x) = \sqrt{r^2 + z^2} = R > 0.$$

В интеграле (7) сделаем еще одну замену /9/:

$$x = \frac{1}{\sqrt{1-\theta^2}}, \quad \theta = \frac{\sqrt{x^2-1}}{x}. \quad (9)$$

При этом контур интегрирования L_x переходит в замкнутый контур L_θ (рис. I). Для совместного выполнения (8), (9) необходимо считать, что $\lim_{\theta \rightarrow \infty} \sqrt{1-\theta^2} = -i\theta$.



Р и с. 1. Контур интегрирования и особые точки подынтегрального выражения (12). Разрезы показаны волнистыми линиями.

Это соотношение определяет аналитическую функцию $\sqrt{1-\theta^2}$ на комплексной плоскости θ . Поскольку функция $F_l(x)$ определена при $x \rightarrow -\infty$ как положительное число, то в результате замены (9) получим

$$F_l(x) = -\frac{iR}{\sqrt{1-\theta^2}} E_l(\theta),$$

где корень

$$E_l(\theta) = \sqrt{(\theta - q_1^{(l)})(\theta - q_2^{(l)}) - \frac{2i\lambda}{R^2} \sqrt{1-\theta^2} (c_l t - \theta z)} \quad (10)$$

определен как положительное число при $\theta \rightarrow \infty$ и введено обозначение

$$q_{1,2}^{(l)} = \frac{1}{R^2} (c_l t z \pm i\sqrt{R^2 - c_l^2 t^2}). \quad (II)$$

Таким образом, выражение для скалярного потенциала смещений принимает вид интеграла по замкнутому контуру:

$$\Psi(r, z, t) = \frac{iFC_l}{4\pi^2 \rho c_t^2 R} \oint_{L_\theta} \frac{(2\theta^2 - 2 + a^2)\theta d\theta}{R_l(\theta) E_l(\theta)}, \quad (I2)$$

где

$$R_l(\theta) = (2\theta^2 - 2 + a^2)^2 + 4\theta(1-\theta^2)\sqrt{\theta^2 + \mu^2},$$

$$\mu^2 = \frac{c_l^2}{c_t^2} - 1, \quad \lim_{\theta \rightarrow i\infty} \sqrt{\theta^2 + \mu^2} = i|\theta|. \quad (I3)$$

Особыми точками подынтегрального выражения (I2) внутри контура интегрирования L_θ являются точки ветвления функции $E_l(\theta)$. Особые точки функции $R_l(\theta)$ (I3) (точки ветвления $\theta = \pm i\mu$) аналитической функции $\sqrt{\theta^2 + \mu^2}$ и определяемые из уравнения $R_l(\theta) = 0$ полоса $\theta_{Rl} = \pm i\sqrt{c_l^2/c_R^2 - 1}$, где C_R -скорость поверхности волны Рэлея лежит вне контура L_θ (рис.I). Анализ, аналогичный проведенному в [9], показывает, что при $z > c_l t$ функция $E_l(\theta)$ не имеет точек ветвления на выбранном месте римановой

поверхности и скалярный потенциал равен нулю. Если $z < C_1 t$, то внутри контура L_θ имеются точки ветвления функции $E_1(\theta)$ /9/:

$$Q_{1,2}^{(1)} = q_1^{(1)} \pm i \frac{\lambda \sin^2(\delta - \delta_1)}{R \sin \delta_1},$$

где $\delta = \arccos(z/R)$, $\delta_1 = \arccos(C_1 t/R)$. Выражение для скалярного потенциала дается интегралом по берегам разреза, соединяющего точки ветвления $Q_1^{(1)}$ и $Q_2^{(1)}$. При вычислении этого интеграла необходимо учесть наличие у подкоренного выражения (10) точек ветвления $\theta = \pm I$ и рассмотреть две возможности: $R > C_1 t$ и $R < C_1 t$.

Неравенство $R > C_1 t$ означает, что продольная волна еще не пришла в рассматриваемую область пространства. В этом случае (12) можно переписать в виде:

$$\Psi = \frac{i F C_1}{2\pi^2 \rho c_t^2 R} \left[\int_{Q_1^{(1)}}^{Q_1^{(1)}} \frac{(2\theta^2 - 2 + a^2)\theta d\theta}{R_1(\theta) E_1(\theta)} + \int_{Q_2^{(1)}}^1 \frac{(2\theta^2 - 2 + a^2)\theta d\theta}{R_1(\theta) E_1(\theta)} \right].$$

В предельном случае $\lambda \rightarrow 0$ точки ветвления $Q_1^{(1)}$ и $Q_2^{(1)}$ лежат сколь угодно близко к действительной оси, причем $Re Q_1^{(1)} = Re Q_2^{(1)}$, так что $\Psi = 0(\lambda)$.

В случае $R < C_1 t$ (продольная волна пришла в рассматриваемую область пространства) в интеграле (12) можно сразу перейти к пределу $\lambda \rightarrow 0$, поскольку величины $q_1^{(1)}$ и $q_2^{(1)}$ имеют собственные отличные от нуля мнимые части при $\lambda = 0$. Таким образом, скалярный потенциал для точечного источника можно записать в виде:

$$\Psi(r, z, t) = \frac{i F C_1 H(t - R/c_t)}{4\pi^2 \rho c_t^2 R} \oint_{L(q_1^{(1)}, q_2^{(1)})} \frac{(2\theta^2 - 2 + a^2)\theta d\theta}{R_1(\theta) \varepsilon_1(\theta)}, \quad (14)$$

где контур интегрирования $L(q_1^{(1)}, q_2^{(1)})$ охватывает разрез, соединяющий точки ветвления $q_{1,2}^{(1)}$,

$$H(t - \frac{R}{C_1}) = \begin{cases} 1, & t > R/C_1 \\ 0, & t < R/C_1 \end{cases} \quad - \text{ступенчатая функция Хевисайда},$$

$$\epsilon_1(\theta) = \sqrt{(\theta - q_1^{(1)})(\theta - q_2^{(1)})}.$$

Вычислить интеграл (I4) аналитически при произвольных координатах точки наблюдения не представляется возможным, однако он может быть легко оценен численно. Для этого необходимо растянуть контур интегрирования $L(q_1^{(1)}, q_2^{(1)})$ на бесконечность и перейти в подынтегральной функции к пределу $\theta \rightarrow \infty$. Интеграл по окружности бесконечно большого радиуса и вычеты в затрагиваемых при деформации контура полосах вычисляются аналитически. Поскольку при $\lambda = 0$ разрз z , соединяющий точки ветвления $\theta \pm i$, исчезает; численный расчет не обходим лишь для интеграла по берегам проходящего по оси $\operatorname{Im} \theta$ разреза, соединяющего точки ветвления $\theta = \pm i\mu$. Замена $\theta = i\tau$ делает пределы интегрирования и подынтегральную функцию действительными. Таким образом, скалярный потенциал в произвольной точке наблюдения может быть записан в виде суммы некоторого алгебраического выражения, содержащего только элементарные функции, и однократного интеграла от гладкой действительной функции в конечных пределах.

Аналитически интеграл (I4) можно вычислить вблизи фронта продольной волны, $R \leq C_1 t$. При этом условии в выражении (II) для $q^{(1)}$, $C_1 t z > |r\sqrt{R^2 - C_1^2 t^2}|$, так что $q_1^{(1)} \approx q_2^{(1)} \approx z/R$, $E_1(\theta) \approx \theta - z/R$, и скалярный потенциал пропорционален вычету в полюсе $\theta = z/R$:

$$\Psi \approx - \frac{F C_1 z (2z^2/R^2 - 2 + a^2) H(t - R/C_1)}{2\pi \rho_2 C_1^2 R^2 [(2z^2/R^2 - 2 + a^2)^2 + 4(z/R)(1 - z^2/R^2)\sqrt{z^2/R^2 + \mu^2}]} \quad (I5)$$

На вертикали прямо под источником, т.е. при $r_1 = 0$, интеграл (I4) вычисляется точно. Действительно, в этом случае $q_1^{(1)} = q_2^{(1)} = C_1 t/z$, $E_1(\theta) = \theta - C_1 t/z$, и значение интеграла пропорционально вычету в полюсе $\theta = C_1 t/z$:

$$\Psi = - \frac{F C_1^2 t (2C_1^2 t^2/z^2 - 2 + a^2) H(t - z/C_1)}{2\pi \rho_2 C_1^2 z^2 [(2C_1^2 t^2/z^2 - 2 + a^2)^2 + 4(C_1 t/z)(1 - C_1^2 t^2/z^2)\sqrt{C_1^2 t^2/z^2 + \mu^2}]} \quad (I6)$$

Дифференцируя (I6) по координате z , можно получить точное аналитическое выражение для z -компоненты смещений в продольной волне

при $r = 0$:

$$\begin{aligned} \omega_z &= \frac{F}{2\pi\rho c_t^2 z} \delta\left(t - \frac{z}{c_t}\right) + \left\{ \left[2c_t^2 t^2 + (a^2 - 2)z^2 \right]^2 + 4c_t t(z^2 - c_t^2 t^2) \sqrt{c_t^2 t^2 + \mu^2 z^2} \right\}^{-2} \\ &\times \left\{ 2z(a^2 - 2) \left[2c_t^2 t^2 + (a^2 - 2)z^2 \right]^2 + 8c_t^3 t^3 a^2 z \sqrt{z^2 \mu^2 + c_t^2 t^2} - \right. \\ &\left. - \frac{4c_t t \mu^2 z (c_t^2 t^2 - z^2) [2c_t^2 t^2 + (a^2 - 2)z^2]}{\sqrt{\mu^2 z^2 + c_t^2 t^2}} \right\} \frac{F t a^2 H(t - z/c_t)}{2\pi\rho}. \end{aligned}$$

Вблизи фронта продольной волны, $z \leq c_t t$, (I6) переходит в выражение (I5), в котором следует положить $z = R$.

4. Исследование векторного потенциала

Перейдем к рассмотрению векторного потенциала, определяющего поле смещений в поперечной волне. Делая в (4) замену $\omega = C_t K' x$, $K = K'$, а затем замену (9), представим векторный потенциал в виде однократного интеграла по замкнутому контуру L_B (рис.2):

$$A = \frac{iFr}{2\pi^2 \rho c_t R} \oint_{L_B} \frac{(1-\theta^2) \sqrt{\theta^2 - \alpha^2} \theta d\theta}{E_t(\theta) R_t(\theta) D(\theta)}, \quad (I7)$$

где

$$E_t(\theta) = \sqrt{(\theta - q_1^{(t)})(\theta - q_2^{(t)}) - \frac{2i\lambda}{R^2} \sqrt{1-\theta^2}(c_t t - \theta z)}$$

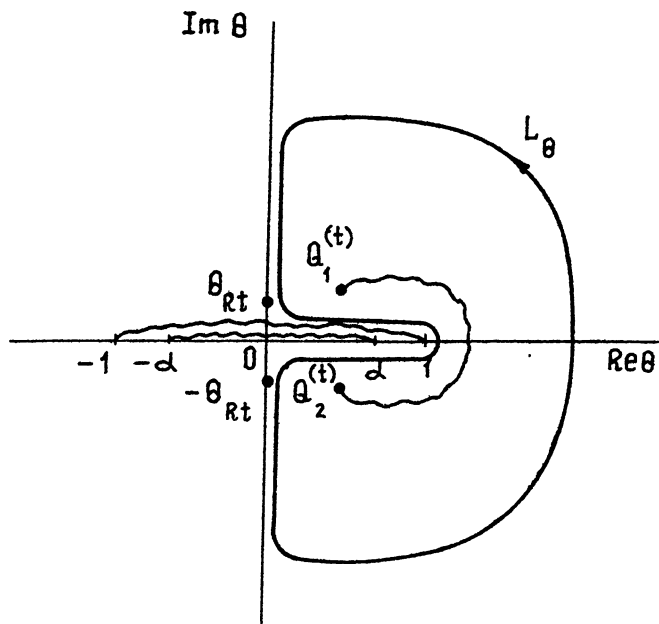
$$q_{1,2}^{(t)} = \frac{1}{R^2} (c_t t z \pm r \sqrt{R^2 - c_t^2 t^2}),$$

$$R_t(\theta) = (1 - 2\theta^2)^2 + 4\theta(1 - \theta^2) \sqrt{\theta^2 - \alpha^2},$$

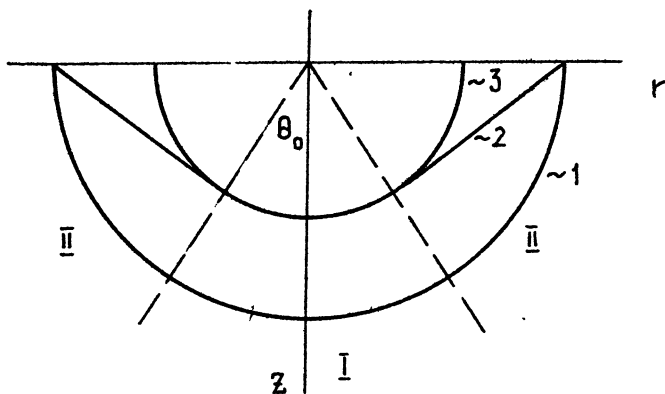
$$D(\theta) = c_t t - z\theta - R E_t(\theta) - i\lambda \sqrt{1 - \theta^2},$$

$$\alpha^2 = 1 - n^2 > 0, \quad n = c_t / c_l,$$

$$\lim_{\theta \rightarrow \infty} \sqrt{\theta^2 - \alpha^2} = \theta.$$



Р и с. 2. Контур интегрирования и особые точки подынтегрального выражения (17).



Р и с. 3. Картина фронтов упругих волн. Арабскими цифрами обозначены: 1 – фронт продольной сферической волны, 2 – фронт конической волны, 3 – фронт поперечной сферической волны. Коническая волна существует в области II

Особыми точками подынтегрального выражения в (I7), лежащими вне контура L_θ , являются точки ветвления функции $E_t(\theta)$, возникающие при $z < C_t t$:

$$Q_{1,2}^{(t)} = q_1^{(t)} \pm i \frac{\lambda \sin(\delta - \delta_t)}{R \sin \delta_t}, \quad (I8)$$

где $\delta_t = \arccos(C_t t / R)$. Отметим, что при $\theta = I$ обращается в нуль (с точностью до членов, пропорциональных λ в степени не выше первой) функция $D(\theta)$, стоящая в знаменателе подынтегрального выражения в (I7), однако при этом числитель также обращается в нуль.

При вычислении интеграла по берегам разреза, соединяющего точки ветвления $Q_1^{(t)}$ и $Q_2^{(t)}$ необходимо учесть наличие у подынтегральной функции (I7) точек ветвления $\theta = \pm \alpha$ и рассмотреть две возможности: $\operatorname{Re} Q_1^{(t)} > \alpha$ и $\operatorname{Re} Q_1^{(t)} < \alpha$.

Условие $\operatorname{Re} Q_1^{(t)} = \alpha$, пользуясь (I8), можно переписать в виде:

$$t_{\text{кон}} = \frac{r}{C_1} + \frac{z}{C_t} \sqrt{1 - \frac{C_t^2}{C_1^2}},$$

где $t_{\text{кон}}$ есть время прихода в точку с координатами (r, z) конической волны (рис.3). Коническую волну можно интерпретировать как излучение Вавилова-Черенкова, которое генерируется в среде с фазовой скоростью волны C_t источником, движущимся со скоростью C_1 и представляющим собой возмущения поверхности полупространства при прохождении фронта продольной волны. Очевидно, что коническая волна существует в интервале углов, больших $\theta_0 = \arcsin n$ (область II на рис.3).

В области I, т.е. при $\delta < \theta_0$ (или $\operatorname{Re} Q_1^{(t)} > \alpha$), рассмотрение, аналогичное проведенному выше для скалярного потенциала, приводит к следующему выражению для A ($\lambda = 0$):

$$A = \frac{i F r H(t - R/C_t)}{2\pi^2 \rho C_t R} \oint_L \frac{(1 - \theta^2) \sqrt{\theta^2 - \alpha^2} \theta d\theta}{\varepsilon_t(\theta) R_t(\theta) d(\theta)}, \quad (I9)$$

где

$$\varepsilon_t(\theta) = \sqrt{(\theta - q_1^{(t)})(\theta - q_2^{(t)})}, \quad d(\theta) = C_t t - z\theta - R\varepsilon_t(\theta)$$

и контур $L(q_1^{(t)}, q_2^{(t)})$ охватывает разрез, проведенный между точками ветвления $q_1^{(t)} \text{ и } q_2^{(t)}$.

Перейдем к рассмотрению векторного потенциала в области углов $\delta > \theta_0$, или при $\operatorname{Re} Q^{(t)} < \alpha$. В этом случае уже при $R > C_t t$ интеграл по берегам разреза, соединяющего точки ветвления $\theta = Q_{1,2}$, оказываются отличными от нуля в пределе $\lambda \rightarrow 0$. Это связано с тем, что входящий под интеграл (17) корень $\sqrt{\theta^2 - \alpha^2}$ имеет разные знаки на верхнем и нижнем берегах разреза ($-\alpha, \alpha$). Таким образом, при $t_{\text{кон}} < t < R/C_t$ векторный потенциал описывает поле конической волны и представляется в виде ($\lambda \rightarrow 0$)

$$A_{\text{кон}} = -\frac{2FrH(\alpha - q_1^{(t)})H(R/C_t - t)}{\pi^2 \rho c_t R} \int_{\alpha}^{q_1^{(t)}} \frac{(1-\theta^2)(1-2\theta^2)^2 \sqrt{\alpha^2 - \theta^2} \theta d\theta}{\epsilon_t(\theta) d(\theta) W_t(\theta)}, \quad (20)$$

где

$$W_t(\theta) = (1-2\theta^2)^4 - 16\theta^2(1-\theta^2)^2 (\theta^2 - \alpha^2) =$$

$$= 16\alpha^2\theta^6 + 8(1-4\alpha^2)\theta^4 + 8(2\alpha^2-1)\theta^2 + 1.$$

Если $R < C_t t$ (в точку наблюдения пришла сферическая поперечная волна), то под интегралом (17) можно перейти к пределу $\lambda \rightarrow 0$. Поскольку наличие разреза ($-\alpha, \alpha$) не существенно для тех слагаемых, которые не содержат корень $\sqrt{\theta^2 - \alpha^2}$, векторный потенциал можно представить в виде суммы $A = A_1 + A_2$, где

$$A_1 = \frac{2iFrH(t - R/C_t)}{\pi^2 \rho c_t R} \oint_{L(q_1^{(t)}, q_2^{(t)})} \frac{(1-\theta^2)^2 (\alpha^2 - \theta^2) \theta^2 d\theta}{\epsilon_t(\theta) d(\theta) W_t(\theta)}, \quad (21)$$

$$A_2 = -\frac{FrH(\alpha - Re q_1^{(t)})H(t - R/C_t)}{\pi^2 \rho c_t R} \int_{\alpha}^{q_1^{(t)}} \frac{(1-\theta^2)(1-2\theta^2)^2 \sqrt{\alpha^2 - \theta^2} \theta d\theta}{\epsilon_t(\theta) d(\theta) W_t(\theta)} + \text{к.с.} \quad (22)$$

Рассмотрим асимптотики векторного потенциала вблизи фронтов сфе-

рической и конической волн.

Асимптотические выражения для потенциалов поперечной сферической волны вблизи ее фронта получим, полагая в (19) и (21) $c_t t \gg \sqrt{R^2 - c_t^2 t^2}$, так что $q_1^{(t)} \approx q_2^{(t)} \approx \frac{z}{R}$, $\epsilon_t(\theta) \approx \theta - \frac{z}{R}$. Для областей I ($\delta < \theta_0$) и II ($\delta > \theta_0$) на рис.3 соответственно имеем

$$A \approx \frac{Fr z (1 - z^2/R^2) \sqrt{z^2/R^2 - \alpha^2} H(t - R/c_t)}{\pi p c_t R^2 (z^2/R - c_t t) [(1 - 2z^2/R^2)^2 + 4(z/R)(1 - z^2/R^2) \sqrt{z^2/R^2 - \alpha^2}]} \quad (23)$$

$$A_1 \approx \frac{4Fr z^2 (1 - z^2/R^2)^2 (\alpha^2 - z^2/R^2) H(t - R/c_t)}{\pi p c_t R^3 (z^2/R - c_t t) [(1 - 2z^2/R^2)^4 + 16(z^2/R^2)(1 - z^2/R^2)^2 (\alpha^2 - z^2/R^2)]} \quad (24)$$

При рассмотрении асимптотики потенциала A_2 вблизи фронта поперечной сферической волны следует отметить, что основной вклад в интеграл (22) при $R \leq c_t t$ дает область $\theta \approx q_1^{(t)} \approx \frac{z}{R}$ и его приближенно можно переписать в виде:

$$A_2 \approx - \frac{2Fr z \left(1 - \frac{z^2}{R^2}\right) \left(1 - \frac{2z^2}{R^2}\right)^2 \sqrt{\alpha^2 - \frac{z^2}{R^2}} H\left(\alpha - \frac{z}{R}\right) H\left(t - \frac{R}{c_t}\right) \frac{z}{R}}{\pi^2 p c_t R^2 d(z/R) W_t(z/R)} \int \frac{d\theta}{\sqrt{\left(\theta - \frac{z}{R}\right)^2 + y^2}} \quad (25)$$

где $y^2 = \frac{r^2}{R^2} \left(\frac{c_t^2 t^2}{R^2} - 1 \right)$. Вычисляя входящий в (25) интеграл, получаем асимптотику потенциала A_2 вблизи фронта поперечной сферической волны:

$$A_2 \approx \frac{-2Fr z \left(1 - \frac{z^2}{R^2}\right) \left(1 - \frac{2z^2}{R^2}\right)^2 \sqrt{\alpha^2 - \frac{z^2}{R^2}} H\left(\alpha - \frac{z}{R}\right) H\left(t - \frac{R}{c_t}\right)}{\pi^2 p c_t R^2 \left(c_t - \frac{z}{R}\right) \left[\left(1 - \frac{2z^2}{R^2}\right)^4 + 16 \frac{z^2}{R^2} \left(1 - \frac{z^2}{R^2}\right)^2 \left(\alpha^2 - \frac{z^2}{R^2}\right) \right]} \ln \left(\frac{r}{R} \sqrt{\frac{c_t^2 t^2}{R^2} - 1} \right) \quad (26)$$

Аналогично может быть вычислена асимптотика потенциала конической волны вблизи ее заднего фронта, т.е. при $R \gtrsim c_t t$:

$$A_{\text{кон}} \approx \frac{-2Frz\left(1-\frac{z^2}{R^2}\right)\left(1-\frac{2z^2}{R^2}\right)^2\sqrt{d^2-\frac{z^2}{R^2}} H(d-\frac{z}{R}) H(\frac{R}{C_t} - t)}{\pi^2 \rho c_t R \left(C_t - \frac{z}{R}\right) \left[\left(1-\frac{2z^2}{R^2}\right)^4 + 16 \frac{z^2}{R^2} \left(1-\frac{z^2}{R^2}\right) \left(d^2 - \frac{z^2}{R^2}\right)\right]} \ln\left(\frac{r}{R} \sqrt{1 - \frac{c_t^2 t^2}{R^2}}\right). \quad (27)$$

Рассмотрим теперь потенциал конической волны вблизи ее переднего фронта, когда $d \approx q_1^{(t)}$. В этом случае интеграл (20) можно приближенно записать в виде

$$A_{\text{кон}} \approx \frac{2Frn^2 d \sqrt{2d} H(d - q_1^{(t)}) H(\frac{R}{C_t} - 1)}{\pi^2 \rho c_t R (zd - C_t t) (1 - 2d^2) \sqrt{q_1^{(t)} - q_2^{(t)}}} \int_{d}^{q_1^{(t)}} \frac{\sqrt{d - \theta}}{\sqrt{\theta - q_1^{(t)}}} d\theta. \quad (28)$$

Входящий в (28) интеграл, согласно /II/, равен $(\pi/2)(q_1^{(t)} - d)$, так что окончательное выражение для асимптотики потенциала конической волны вблизи ее переднего фронта имеет вид

$$A_{\text{кон}} \approx \frac{Frn^2 d^{3/2} (q_1^{(t)} - d) H(d - q_1^{(t)}) H(R/C_t - t)}{\pi \rho c_t R (zd - C_t t) (1 - 2d^2) \sqrt{\frac{r}{R}} \sqrt{1 - \frac{C_t^2 t^2}{R^2}}}. \quad (29)$$

Асимптотические выражения (15), (23), (24), (26), (27), (29) для потенциалов позволяют проанализировать поле смещений вблизи фронтов продольной и поперечной волн, а также переднего и заднего фронтов конической волны. Для произвольных координат точек наблюдения выражения для скалярного и векторного потенциалов могут быть сведены к двойным интегралам от действительных гладких функций в конечных пределах.

5. Представление вертикальных смещений контурными интегралами

Вертикальную компоненту смещений частиц среды представим в виде суммы $u_z = u_z^{(1)} + u_z^{(t)}$, где

$$u_z^{(1)} = \frac{\partial \Psi}{\partial z}, \quad u_z^{(t)} = \frac{1}{r} \frac{\partial}{\partial r} (r A). \quad (30)$$

Рассмотрим величину $\psi_z^{(1)}$, определяемую скалярным потенциалом. Ее можно записать в следующем интегральном виде:

$$\psi_z^{(1)} = \frac{i F C_1}{4\pi^2 \rho c_t^2 R^3} \oint_{L_\theta} \frac{(2\theta^2 - 2 + a^2)(C_1 t - z\theta - i\lambda\sqrt{1-\theta^2})\theta^2 d\theta}{R_i(\theta) E_1^3(\theta)}. \quad (31)$$

При $R > C_1 t$ контур L_θ можно стянуть к разрезу, соединяющему точки ветвления $Q_1^{(1)}$ и $Q_2^{(1)}$, так что

$$\begin{aligned} \psi_z^{(1)} = & \frac{i F C_1}{2\pi^2 \rho c_t^2 R^3} \left\{ \int_{Q_1^{(1)}}^1 \frac{(2\theta^2 - 2 + a^2)(C_1 t - z\theta - i\lambda\sqrt{1-\theta^2})\theta^2 d\theta}{R_i(\theta) \left[\left(\theta - \frac{C_1 t z}{R^2} \right)^2 - \frac{r^2}{R^2} \left(1 - \frac{C_1^2 t^2}{R^2} \right) - 2i \frac{\lambda}{R} \sqrt{1-\theta^2} (C_1 t - \theta z) \right]^{3/2}} + \right. \\ & \left. + \int_{Q_2^{(1)}}^1 \frac{(2\theta^2 - 2 + a^2)(C_1 t - z\theta + i\lambda\sqrt{1-\theta^2})\theta^2 d\theta}{R_i(\theta) \left[\left(\theta - \frac{C_1 t z}{R^2} \right)^2 - \frac{r^2}{R^2} \left(1 - \frac{C_1^2 t^2}{R^2} \right) + 2i \frac{\lambda}{R} \sqrt{1-\theta^2} (C_1 t - \theta z) \right]^{3/2}} \right\}. \end{aligned} \quad (32)$$

Если величины R и $C_1 t$ отличаются значительно, то в (32) знаменатели всегда отличны от нуля и $\psi_z^{(1)} \sim 0(\lambda)$. При $R \approx C_1 t$ подынтегральные выражения имеют острый максимум в области $\theta \approx z/R$. Эта область дает основной вклад в интегралы (32), поэтому выражение для $\psi_z^{(1)}$ вблизи фронта продольной волны можно приближенно записать в виде ($R - C_1 t \rightarrow +0$)

$$\begin{aligned} \psi_z^{(1)} = & \frac{i F C_1 (2z^2/R^2 - 2 + a^2)}{2\pi^2 \rho c_t^2 R^3 R_i(z/R)} \left\{ \left(C_1 t - \frac{z^2}{R} - i\lambda\sqrt{1 - \frac{z^2}{R^2}} \right) \int_1^{Q_1^{(1)}} \left[\left(\theta - \frac{C_1 t z}{R^2} \right)^2 - \right. \right. \\ & \left. - \frac{r^2}{R^2} \left(1 - \frac{C_1^2 t^2}{R^2} \right) - 2i \frac{\lambda}{R} \sqrt{1 - \frac{z^2}{R^2}} \left(C_1 t - \frac{z^2}{R} \right) \right]^{-3/2} d\theta - \left(C_1 t - \frac{z^2}{R} + i\lambda\sqrt{1 - \frac{z^2}{R^2}} \right) \times \\ & \times \int_1^{Q_2^{(1)}} \left[\left(\theta - \frac{C_1 t z}{R^2} \right)^2 - \frac{r^2}{R^2} \left(1 - \frac{C_1^2 t^2}{R^2} \right) + 2i \frac{\lambda}{R} \sqrt{1 - \frac{z^2}{R^2}} \left(C_1 t - \frac{z^2}{R} \right) \right]^{-3/2} d\theta \left. \right\}. \end{aligned} \quad (33)$$

Вычисляя эти интегралы в (33) и полагая $R - C_1 t \rightarrow +0$ (при этом существенным является вклад от подстановки нижних пределов интегрирования)

ния), а затем $\lambda \rightarrow 0$, получаем следующее выражение для особенности поля вертикальных смещений вблизи фронта продольной волны:

$$\underline{U}_{z\delta}^{(1)} = \frac{F z^2 (a^2 - 2r^2/R^2) \delta(t - R/c_t)}{2\pi p c_t^2 R^3 [(a^2 - 2r^2/R^2)^2 + 4(zr^2/R^3) \sqrt{z^2/R^2 + \mu^2}]} \quad (34)$$

Если $R < c_t t$, то при $R \rightarrow c_t t$ - 0 существует особенность поля вида (34). Кроме того, при $R < c_t t$ точки ветвления $Q_{1,2}^{(1)}$ имеют отличные от нуля мнимые части в пределе $\lambda \rightarrow 0$, так что интеграл по контуру $L(Q_1^{(1)}, Q_2^{(1)})$ отличен от нуля. Таким образом, выражение для определяемых скалярным потенциалом вертикальных смещений имеет вид

$$\underline{U}_z^{(1)} = \frac{i F c_t H(t - R/c_t)}{4\pi^2 p c_t^2 R^3} \oint_{L(q_1^{(1)}, q_2^{(1)})} \frac{(2\theta^2 - a^2)(c_t t - z\theta)\theta^2 d\theta}{R_t(\theta) \varepsilon_t^3(\theta)} + \quad (35)$$

$$+ \frac{F z^2 (a^2 - 2r^2/R^2) \delta(t - R/c_t)}{2\pi p c_t^2 R^3 [(a^2 - 2r^2/R^2)^2 + 4(zr^2/R^3) \sqrt{z^2/R^2 + \mu^2}]}.$$

Перейдем к рассмотрению вертикальных смещений, соответствующих векторному потенциалу. Выражение для них имеет вид

$$\underline{U}_z^{(t)} = \frac{i F}{2\pi^2 p c_t R^3} \oint_{L_\theta} \frac{\sqrt{\theta^2 - \alpha^2} (1 - \theta^2) (c_t t - z\theta - i\lambda \sqrt{1 - \theta^2}) \theta d\theta}{R_t(\theta) E_t^3(\theta)}. \quad (36)$$

Исследование, аналогичное проведенному выше для $\underline{U}_z^{(1)}$, показывает, что в области углов $\delta < \theta_0$ ($\alpha < z/R$), где коническая волна отсутствует, вертикальные смещения в поперечной волне описываются формулой:

$$\underline{U}_z^{(t)} = \frac{i F H(t - R/c_t)}{2\pi^2 p c_t R^3} \oint_{L(q_1^{(t)}, q_2^{(t)})} \frac{\sqrt{\theta^2 - \alpha^2} (1 - \theta^2) (c_t t - z\theta) \theta d\theta}{R_t'(\theta) \varepsilon_t^3(\theta)} + \quad (37)$$

$$+ \frac{F z r^2 \sqrt{z^2/R^2 - \alpha^2} \delta(t - R/c_t)}{\pi \rho c_t^2 R^4 [(1 - 2z^2/R^2)^2 + 4(zr^2/R^3) \sqrt{z^2/R^2 - \alpha^2}]}$$

В области углов $\delta > \theta_0$ ($\alpha > z/R$), где существует коническая волна, в моменты времени, предшествующие приходу сферической поперечной волны, $R > c_t t$, смещения $U_z^{(t)}$ можно представить в виде

$$\begin{aligned} U_z^{(t)} = & \frac{4iF}{\pi^2 \rho c_t R^3} \left\{ \int_1^{Q_t^{(t)}} \frac{(\alpha^2 - \theta^2)(1 - \theta^2)^2 (c_t t - z\theta - i\lambda \sqrt{1 - \theta^2}) \theta^2 d\theta}{W_t(\theta) E_t^3(\theta)} \right. \\ & - \int_1^{Q_t^{(t)}} \frac{(\alpha^2 - \theta^2)(1 - \theta^2)^2 (c_t t - z\theta + i\lambda \sqrt{1 - \theta^2}) \theta^2 d\theta \Big\} + \\ & + \frac{iF}{\pi^2 \rho c_t R^3} \left\{ \int_1^{\alpha+i0} \frac{\sqrt{\theta^2 - \alpha^2} (1 - \theta^2)(1 - 2\theta^2)^2 (c_t t - z\theta - i\lambda \sqrt{1 - \theta^2}) \theta d\theta}{W_t(\theta) E_t^3(\theta)} \right. \\ & - \int_1^{\alpha+i0} \frac{\sqrt{\theta^2 - \alpha^2} (1 - \theta^2)(1 - 2\theta^2)^2 (c_t t - z\theta + i\lambda \sqrt{1 - \theta^2}) \theta d\theta \Big\} - \\ & - \frac{F}{\pi^2 \rho c_t R^3} \left\{ \int_{\alpha+i0}^{Q_t^{(t)}} \frac{\sqrt{\alpha^2 - \theta^2} (1 - \theta^2)(1 - 2\theta^2)^2 (c_t t - z\theta - i\lambda \sqrt{1 - \theta^2}) \theta d\theta}{W_t(\theta) E_t^3(\theta)} \right. \\ & + \int_{\alpha+i0}^{Q_t^{(t)}} \frac{\sqrt{\alpha^2 - \theta^2} (1 - \theta^2)(1 - 2\theta^2)^2 (c_t t - z\theta + i\lambda \sqrt{1 - \theta^2}) \theta d\theta \Big\}, \quad (38) \end{aligned}$$

где

$$E_t^*(\theta) = \left[\left(\theta - \frac{c_t t z}{R^2} \right)^2 - \frac{r^2}{R^2} \left(1 - \frac{c_t^2 t^2}{R^2} \right) + 2i \frac{\lambda}{R^2} \sqrt{1 - \theta^2} (c_t t - \theta z) \right].$$

Можно показать, что разность интегралов в первых фигурных скобках в (38) дает вблизи фронта поперечной сферической волны особенность поля смещений в виде дельта-функции:

$$U_{z\delta}^{(t)} = \frac{4F z^2 r^4 (d^2 - z^2/R^2)}{\pi p c_t^2 R^7 W_t(z/R)} \delta(t - R/c_t). \quad (39)$$

При исследовании интегралов, стоящих во второй фигурной скобке в (38), следует учесть, что область $\theta \approx \frac{z}{R}$, где подынтегральные выражения имеют острый максимум при $R \approx c_t t$, лежит вне интервала интегрирования. Поэтому в пределе точечного источника, $\lambda \rightarrow 0$, рассматриваемая группа членов обращается в нуль.

Рассмотрим теперь члены в третьей фигурной скобке в (38). Вблизи фронта поперечной сферической волны основной вклад в интегралы даст область $\theta \approx z/R$, поэтому соответствующую часть смещений (будем называть ее распределенным возмущением) можно приближенно записать в виде

$$U_{zp} = - \frac{F \sqrt{d^2 - z^2/R^2} (1 - z^2/R^2) (1 - 2z^2/R^2)^2 z}{\pi^2 p c_t^2 R^4 W_t(z/R)} \left\{ \left(c_t t - \frac{z^2}{R} - i\lambda \sqrt{1 - \frac{z^2}{R^2}} \right) \times \right. \\ \left. \times \int_{d+i0}^{Q_1} \left[\left(\theta - \frac{c_t t z}{R^2} \right)^2 - \frac{r^2}{R^2} \left(1 - \frac{c_t^2 t^2}{R^2} \right) - 2i \frac{\lambda}{R} \sqrt{1 - \frac{z^2}{R^2}} \left(c_t t - \frac{z^2}{R} \right) \right]^{-3/2} d\theta + \right. \\ \left. + \left(c_t t - \frac{z^2}{R} + i\lambda \sqrt{1 - \frac{z^2}{R^2}} \right) \times \right. \\ \left. \times \int_{d-i0}^{Q_2} \left[\left(\theta - \frac{c_t t z}{R^2} \right)^2 - \frac{r^2}{R^2} \left(1 - \frac{c_t^2 t^2}{R^2} \right) + 2i \frac{\lambda}{R} \sqrt{1 - \frac{z^2}{R^2}} \left(c_t t - \frac{z^2}{R} \right) \right]^{-3/2} d\theta \right\}. \quad (40)$$

Выполняя в (40) интегрирование (при этом существенный вклад дает подстановка нижних пределов интегрирования) для распределенного возмуще-

ния получаем:

$$U_{zp} = \frac{F z r^2 (1 - 2z^2/R^2)^2 \sqrt{\alpha^2 - z^2/R^2}}{\pi^2 \rho c_t^2 R^4 W_t(z/R)} \cdot \frac{t - R/c_t}{(t - R/c_t)^2 + (\lambda r/c_t R)^2} \quad (4I)$$

В предельном случае точечного источника

$$\lim_{\lambda \rightarrow 0} \frac{t - R/c_t}{(t - R/c_t)^2 + (\lambda r/c_t R)^2} = \frac{P}{t - R/c_t},$$

где P есть символ главного значения.

Если R и $c_t t$ отличаются значительно, то можно в (38) положить $\lambda = 0$. Это приводит к выражению для вертикальных смещений в конической волне.

$$U_{z\text{кон}} = - \frac{2FH(\alpha - q_1^{(t)})H(R - c_t t)}{\pi^2 \rho c_t R^3} \int_{-\alpha}^{q_1^{(t)}} \frac{\sqrt{\alpha^2 - \theta^2}(1 - \theta^2)(1 - 2\theta^2)^2(c_t t - z\theta)\theta d\theta}{W_t(\theta) \varepsilon_t^3(\theta)} \quad (42)$$

Если $R < c_t t$, то при $R \rightarrow c_t t - 0$ существуют особенности поля вида (39) и (4I). Далее, поскольку при $R < c_t t$ величины $q_1^{(t)}$ и $q_2^{(t)}$ имеют отличные от нуля мнимые части, то можно сразу перейти в (36) к пределу $\lambda \rightarrow 0$, что приводит к следующему выражению для вертикальных смещений в сферической поперечной волне:

$$U_{z\text{сф}}^{(t)} = \frac{iF H(t - R/c_t)}{2\pi^2 \rho c_t R^3} \oint_{L_\theta} \frac{\sqrt{\theta^2 - \alpha^2}(1 - \theta^2)(c_t t - z\theta)\theta d\theta}{R_t(\theta) \varepsilon_t^3(\theta)} \quad (43)$$

Для тех членов под интегралом (43), которые не содержат корня $\sqrt{\alpha^2 - \theta^2}$, наличие разреза $(-\alpha, \alpha)$ не существенно, и для них контур интегрирования L_θ может быть стянут к разрезу, соединяющему точки ветвления $q_1^{(t)}$ и $q_2^{(t)}$ функции $\varepsilon_t(\theta)$. Для членов, содержащих функцию $\sqrt{\alpha^2 - \theta^2}$, необходимо учитывать разрез $(-\alpha, \alpha)$. Таким образом, выражение для $U_z^{(t)}$ при $R < c_t t$ имеет вид

$$U_z^{(t)} = \frac{2iF H(t - R/c_t)}{\pi^2 \rho c_t R^3} \oint_{L(q_1^{(t)}, q_2^{(t)})} \frac{(\alpha^2 - \theta^2)(1 - \theta^2)^2(c_t t - z\theta)\theta^2 d\theta}{W_t(\theta) \varepsilon_t^3(\theta)} -$$

$$\begin{aligned}
 & - \left[\frac{FH(d-Req_1^{(t)})H(t-R/c_t)}{\pi^2 p c_t R^3} \int_{q_1^{(t)}}^0 \frac{\sqrt{d^2-\theta^2}(1-\theta^2)(t-2\theta^2)(c_t t-z\theta)\theta d\theta}{W_t(\theta) \varepsilon_t^3(\theta)} + K.C. \right] \\
 & + \frac{4Fz^2r^4(d^2-z^2/R^2)\delta(t-R/c_t)}{\pi p c_t^2 R^7 [16d^2(z/R)^6 + 8(1-4d^2)(z/R)^4 + 8(2d^2-1)(z/R)^2 + 1]} + \\
 & + \frac{Fzr^2(1-2z^2/R^2)^2 \sqrt{d^2-z^2/R^2} H(d-Req_1^{(t)})}{\pi^2 p c_t^2 R^4 [16d^2(z/R)^6 + 8(1-4d^2)(z/R)^4 + 8(2d^2-1)(z/R)^2 + 1]} \frac{R}{t - \frac{R}{c_t}} \quad (44)
 \end{aligned}$$

Контурные интегралы в (35) и (43) могут быть сведены к однократным интегралам от действительных функций в конечных пределах. Для этого нужно растянуть контур интегрирования L_B на бесконечность. Интегралы по окружности бесконечно большого радиуса, как нетрудно показать, равны нулю. Вычеты в полюсах $\theta = \pm \theta_{Rl}$ и $\theta = \pm \theta_{Rt}$ вычисляются аналитически. Таким образом, необходимо вычислить только интегралы по берегам разрезов, проведенных между парами точек $\theta = \pm i\mu$ в интеграле (35) и $\theta = \pm d$ в интеграле (43), причем в (35) необходимо рассмотреть случаи $|Im q_1^{(1)}| < \mu$, $\mu < |Im q_1^{(1)}| < |\theta_{Rl}|$ и $|Im q_1^{(1)}| > |\theta_{Rl}|$, а в (43) - случай $|Im q_1^{(t)}| < |\theta_{Rt}|$ и $|Im q_1^{(t)}| > |\theta_{Rt}|$.

Рассмотрение горизонтальных смещений частиц среды в упругих волнах может быть проведено аналогично.

6. Вычисление вертикальных смещений поверхности полупространства

При экспериментальных исследованиях сейсмических волн обычно измеряются вертикальные смещения земной поверхности. Поэтому ниже будут вычислены z -компоненты смещений границы полупространства.

Из (35) следует, что при $z = 0$ вертикальные смещения в продольной волне можно переписать в виде

$$U_z^{(1)}(0) = \frac{i F a^2 t}{4\pi^2 pr^3} H(c_t t - r)(I_1 - 4I_2), \quad (45)$$

где

$$I_1 = \oint_{L_0} \frac{(2\theta^2 - 2 + a^2)^3 \theta^2 d\theta}{W_1(\theta) (\theta^2 + \gamma^2)^{3/2}}, \quad (46)$$

$$I_2 = \oint_{L_0} \frac{(2\theta^2 - 2 + a^2)(1-\theta^2)\sqrt{\theta^2 + \mu^2} \theta^3 d\theta}{W_1(\theta) (\theta^2 + \gamma^2)^{3/2}}, \quad (47)$$

$$W_1(\theta) = (2\theta^2 - 2 + a^2)^4 - 16\theta^2(1-\theta^2)^2(\theta^2 + \mu^2) = \\ = 16\mu^2\theta^6 + 8(3\mu^4 - 2\mu^2 + 1)\theta^4 + 8(\mu^6 - 3\mu^4 + \mu^2 - 1)\theta^2 + (\mu^2 - 1)^4,$$

$$\gamma^2 = \frac{C_t^2 t^2}{r^2} - 1 > 0, \quad \lim_{\theta \rightarrow i\infty} \sqrt{\theta^2 + \gamma^2} = i|\theta|.$$

Особыми точками подынтегральных выражений в (46), (47) являются полюса $\theta = \pm i\gamma$ и совпадающие с ними точки ветвления аналитической функции $\sqrt{\theta^2 + \gamma^2}$, точки ветвления $\theta = \pm i\mu$ функции $\sqrt{\theta^2 + \mu^2}$ и шесть полюсов, даваемых решением уравнения $W_1(\theta) = 0$. Для определенности рассмотрим среду, в которой $C_t^2 / C_r^2 = a^2 = 3$. Тогда для полюсов имеем:

$$\theta_{1,2}^{(1)} = 1 - \frac{a^2}{S_1} > 0, \quad \theta_{3,4}^{(1)} = 1 - \frac{a^2}{S_2} > 0, \quad \theta_{5,6}^{(1)} = \theta_{R1}^2 = 1 - \frac{a^2}{S_3} < 0,$$

где

$$S_1 = 4, \quad S_2 = 2 + \frac{2}{\sqrt{3}} \approx 3,1547, \quad S_3 = 2 - \frac{2}{\sqrt{3}} \approx 0,8453 / 3/.$$

Внутри контура интегрирования L_0 лежит разрез, соединяющий точки вет-

вления $\theta = \pm i\gamma$, а также полюса $\theta = \theta_3^{(1)}$ (рис. 4).
 $\theta = \theta_3^{(1)}$

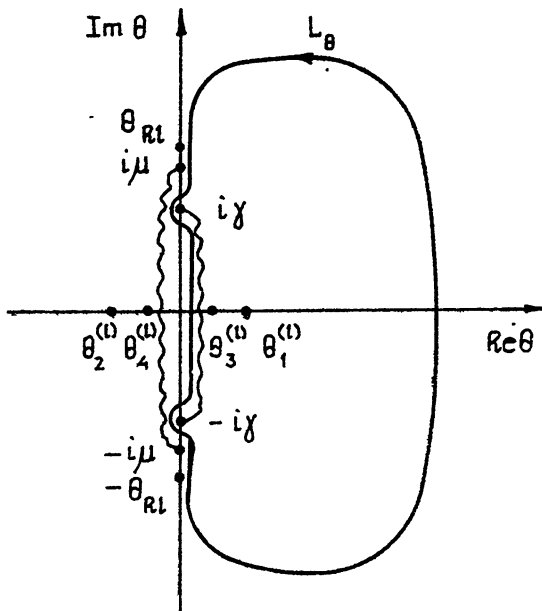


Рис. 4. Контур интегрирования L_θ и особые точки полынтегральных выражений (46), (47) для случая $C_t t < r < C_l t$

Для вычисления интеграла I_1 растянем контур интегрирования L_θ на бесконечность. При деформации контура затрагиваются полюса $\theta = \theta_3^{(1)}$, $\theta = \theta_4^{(1)}$ и $\theta = \pm \theta_{R1}$. Если $\gamma < |\theta_{R1}|$, т.е. $C_R t < r^2 < C_l t$, то вклад вычетов в полюсах $\theta = \pm \theta_{R1}$ отличен от нуля, поскольку знаки корня $\sqrt{\theta^2 + \gamma^2}$ при $\theta = \theta_{R1}$ и $\theta = -\theta_{R1}$ различны. При $\gamma > |\theta_{R1}|$ (или $r < C_R t$) вычеты в полюсах $\theta = \pm \theta_{R1}$ равны по модулю, но противоположны по знаку. Таким образом, для I_1 имеем:

$$I_1 = 2\pi i \left[\frac{1}{2\mu^2} - f_1(\theta_2^{(1)}) \frac{\theta_2^{(1)}}{\sqrt{\theta_2^{(1)} + \gamma^2}} - f_1(\theta_4^{(1)}) \frac{\theta_4^{(1)}}{\sqrt{\theta_4^{(1)} + \gamma^2}} \right]$$

$$-2\varphi_1(\theta_{R1}) \frac{|\theta_{R1}|}{|\sqrt{\theta_{R1}^2 + \gamma^2}|} H(r - c_R t) \quad (48)$$

где

$$\varphi_1(\theta) = \frac{(2\theta^2 - 2 + a^2)^3}{[96\mu^2\theta^4 + 32(3\mu^4 - 2\mu^2 + 1)\theta^2 + 16(\mu^6 - 3\mu^4 + \mu^2 - 1)](\theta^2 + \gamma^2)}.$$

Несобходимо учесть, что в полосах $\theta_2^{(1)}$ и $\theta_4^{(1)}$ корень $\sqrt{\theta^2 + \gamma^2}$ определен как отрицательное число.

При вычислении интеграла I_2 следует рассмотреть три случая: $\gamma < \mu$, $\mu < \gamma < |\theta_{R1}|$, $\gamma > |\theta_{R1}|$ или, соответственно $c_t t < r < c_R t$, $c_R t < r < c_t t$, $r < c_R t$. Если $\gamma < \mu$, то интеграл по контуру, охватывающему разрез $(-i\gamma, i\gamma)$, равен нулю вследствие нечетности подынтегральной функции и симметричности пределов интегрирования, так что значение I_2 определяется вычетами в полосах $\theta_1^{(1)}$ и $\theta_3^{(1)}$. При выполнении условия $\gamma > \mu$ контур интегрирования L_θ следует растянуть на бесконечность. Учитывая, что возникающий при деформации контура интеграл по берегам разреза $(-i\mu, i\mu)$ равен нулю, получаем следующее значение интеграла I_2 :

$$I_2 = 2\pi i \left\{ \left[\varphi_2(\theta_1^{(1)}) \frac{\sqrt{\theta_1^{(1)2} + \mu^2}}{\sqrt{\theta_1^{(1)2} + \gamma^2}} + \varphi_2(\theta_3^{(1)}) \frac{\sqrt{\theta_3^{(1)2} + \mu^2}}{\sqrt{\theta_3^{(1)2} + \gamma^2}} \right] \times \right. \\ \times H(c_t t - r) H(r - c_t t) - \left[\frac{1}{8\mu^2} + \varphi_2(\theta_2^{(1)}) \frac{\sqrt{\theta_2^{(1)2} + \mu^2}}{\sqrt{\theta_2^{(1)2} + \gamma^2}} + \right. \\ \left. + \varphi_2(\theta_4^{(1)}) \frac{\sqrt{\theta_4^{(1)2} + \mu^2}}{\sqrt{\theta_4^{(1)2} + \gamma^2}} + 2H(r - c_R t) \varphi_2(\theta_{R1}) \frac{|\sqrt{\theta_{R1}^2 + \mu^2}|}{|\sqrt{\theta_{R1}^2 + \gamma^2}|} H(c_t t - r) \right], \quad (49)$$

где

$$\ell_2(\theta) = \frac{(2\theta^2 - 2 + \alpha^2)(1 - \theta^2)\theta^2}{[96\mu^2\theta^4 + 32(3\mu^4 - 2\mu^2 + 1)\theta^2 + 16\mu(\mu^6 - 3\mu^4 + \mu^2 - 1)](\theta^2 + \gamma^2)}.$$

Подстановка (48) и (49) в формулу (45) приводит к выражению для части вертикальных смещений поверхности полупространства, определяемой скалярным потенциалом.

Перейдем к рассмотрению вертикальных смещений, соответствующих векторному потенциалу. Для расстояний из интервала $C_t t < r < C_t t$ z -компоненты смещений поверхности полупространства определяется суммой смещений $\underline{U}_z^{(1)}(0)$ и смещений $\underline{U}_{z \text{ кон}}(0)$ в конической волне. Из (42) следует, что

$$\underline{U}_{z \text{ кон}}(0) = - \frac{2Ft}{\pi^2 \rho r^3} H(C_t t - r) H(r - C_t t) I_3, \quad (50)$$

где

$$I_3 = \int_{-\xi}^{\xi} \frac{(1 - 2\theta^2)^2 (1 - \theta^2) \sqrt{\alpha^2 - \theta^2} \theta d\theta}{W_t(\theta) (\theta^2 - \xi^2)^{3/2}},$$

$$\xi^2 = 1 - C_t^2 t^2 / r^2 > 0, \quad \lim_{\theta \rightarrow \infty} \sqrt{\theta^2 - \xi^2} = \theta.$$

Вычислим интеграл I_3 . Можно показать [II], что справедливо соотношение

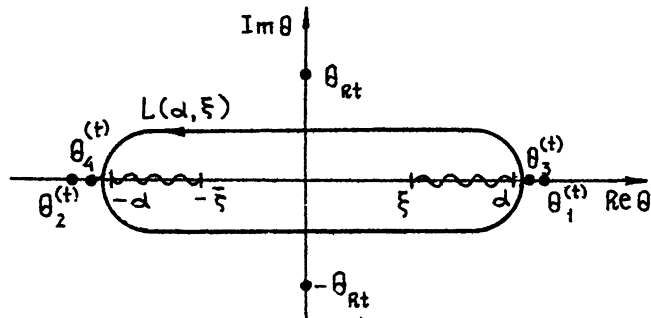
$$I_3 = - \frac{i}{4} \Omega, \quad (51)$$

где

$$\Omega = \oint_{L(\alpha, \xi)} \frac{(1 - 2\theta^2)^2 (1 - \theta^2) \sqrt{\theta^2 - \alpha^2} \theta d\theta}{W_t(\theta) (\theta^2 - \xi^2)^{3/2}}. \quad (52)$$

Интегрирование в (52) проводится по замкнутому контуру, охватывающему разрезы, проведенные по оси $\operatorname{Re}\theta$ между парами точек $(-\alpha, -\xi)$.

(ξ, α) (рис.5).



Р и с. 5. Контур интегрирования $L(\alpha, \xi)$

Разрезы показаны волнистыми линиями

Интеграл Ω можно вычислить, растягивая контур интегрирования $L(\alpha, \xi)$ на бесконечность. При этом необходимо учесть наличие шести полюсов, даваемых решениями уравнения $W_t(\theta) = 0$. Полагая, как и выше, $C_t^2 / C_t^2 = 3$ ($\alpha = \sqrt{2/3} \approx 0,816$), для полюсов $\theta_t^2 = 1 - 1/S_{1,2,3}$ имеем

$$\theta_{1,2}^{(t)} \approx \pm 0,866, \quad \theta_{3,4}^{(t)} \approx \pm 0,826, \quad \pm \theta_{Rt} = 0,428i.$$

Вычисляя интеграл по окружности бесконечно большого радиуса и вычеты в перечисленных полюсах, получаем

$$\Omega = -2\pi i \left[\frac{1}{4\alpha^2} + 2f_3(\theta_1^{(t)}) \frac{\sqrt{\theta_1^{(t)^2} - \alpha^2}}{\sqrt{\theta_1^{(t)^2} - \xi^2}} + 2f_3(\theta_3^{(t)}) \frac{\sqrt{\theta_3^{(t)^2} - \alpha^2}}{\sqrt{\theta_3^{(t)^2} - \xi^2}} + 2f_3(\theta_{Rt}) \frac{\sqrt{\alpha^2 - \theta_{Rt}^2}}{\sqrt{\xi^2 - \theta_{Rt}^2}} \right] \quad (53)$$

где

$$f_3(\theta) = \frac{(1-2\theta^2)^2 (1-\theta^2)}{[96\alpha^2\theta^4 + 32(1-4\alpha^2)\theta^2 + 16(2\alpha^2-1)] (\theta^2 - \xi^2)}.$$

Подстановка (53), (51) в (50) приводит к следующему выражению

для вертикальных смещений поверхности полупространства в конической волне:

$$U_z^{(t)}(0) = \frac{Ft}{\pi \rho r^3} \left[\frac{1}{4d^2} + 2f_3(\theta_1^{(t)}) \frac{\sqrt{\theta_1^{(t)2} - d^2}}{\sqrt{\theta_1^{(t)2} - \xi^2}} + 2f_3(\theta_3^{(t)}) \frac{\sqrt{\theta_3^{(t)2} - d^2}}{\sqrt{\theta_3^{(t)2} - \xi^2}} - \right. \\ \left. + 2f_3(\theta_{Rt}) \frac{\sqrt{d^2 - \theta_{Rt}^2}}{\sqrt{\xi^2 - \theta_{Rt}^2}} \right] H(c_t t - r) H(r - c_t t), \quad (54)$$

Как следует из (43), выражение для вертикальных смещений поверхности полупространства в сферической поперечной волне можно записать в виде

$$U_{z \text{ сф}}^{(t)}(0) = \frac{iFt}{2\pi^2 \rho r^3} (I_4 - 4I_5) H(c_t t - r), \quad (55)$$

где $I_4 = \oint_{L_\theta} \frac{(1-2\theta^2)^2(1-\theta^2)\sqrt{\theta^2-d^2}}{W_t(\theta)(\theta^2+y_0^2)^{3/2}} \theta d\theta$,

$$I_5 = \oint_{L_\theta} \frac{(\theta^2-d^2)(1-\theta^2)^2 \theta^2 d\theta}{W_t(\theta)(\theta^2+y_0^2)^{3/2}},$$

$$y_0^2 = c_t^2 t^2 / r^2 - 1 > 0, \quad \lim_{\theta \rightarrow i\infty} \sqrt{\theta^2 + y_0^2} = i|\theta|.$$

Интегралы I_4 , I_5 легко вычислить, растягивая контур интегрирования L_θ на бесконечность. При этом следует учесть, что возникающий при деформации контура в I_4 интеграл по берегам разреза ($-d$, d) равен нулю, поскольку подынтегральная функция нечетна, а пределы интегрирования симметричны. После проведения необходимых выкладок для I_4 и I_5 получаем

$$I_4 = -2\pi i \left[\frac{1}{4d^2} + f_4(\theta_2^{(t)}) \frac{\sqrt{\theta_2^{(t)2} - d^2}}{\sqrt{\theta_2^{(t)2} + y_0^2}} + f_4(\theta_4^{(t)}) \frac{\sqrt{\theta_4^{(t)2} - d^2}}{\sqrt{\theta_4^{(t)2} + y_0^2}} + \right.$$

$$+ 2f_4(\theta_{Rt}) \frac{|\sqrt{\theta_{Rt}^2 - \alpha^2}|}{|\sqrt{\theta_{Rt}^2 + \gamma_0^2}|} H(r - c_R t) \Big], \quad (56)$$

$$f_4(\theta) = \frac{(1 - 2\theta^2)^2(1 - \theta^2)}{[96\alpha^2\theta^4 + 32(1 - 4\alpha^2)\theta^2 + 16(2\alpha^2 - 1)](\theta^2 + \gamma_0^2)},$$

$$I_5 = 2\pi i \left[\frac{1}{16\alpha^2} - f_5(\theta_2^{(t)}) \frac{\theta_2^{(t)}}{\sqrt{\theta_2^{(t)2} + \gamma_0^2}} - f_5(\theta_4^{(t)}) \frac{\theta_4^{(t)}}{\sqrt{\theta_4^{(t)2} + \gamma_0^2}} - \right. \\ \left. - 2f_5(\theta_{Rt}) \frac{|\theta_{Rt}|}{|\sqrt{\theta_{Rt}^2 + \gamma_0^2}|} H(r - c_R t) \right], \quad (57)$$

$$f_5(\theta) = \frac{(\theta^2 - \alpha^2)(1 - \theta^2)^2}{[96\alpha^2\theta^4 + 32(1 - 4\alpha^2)\theta^2 + 16(2\alpha^2 - 1)](\theta^2 + \gamma_0^2)}.$$

Подстановка (56), (57) в (55) приводит к выражению для $U_z^{(t)}$ (0), при чем необходимо учитывать, что корни $\sqrt{\theta^2 - \alpha^2}$, $\sqrt{\theta^2 - \gamma_0^2}$ определены в полюсах $\theta_2^{(t)}$ и $\theta_4^{(t)}$ как отрицательные числа.

После вычисления величин $U_z^{(l)}$ (0), $U_z^{(кон)}$ (0) и $U_z^{(т)}$ (0) выражение для z - компоненты смещений поверхности полупространства может быть представлено в виде

$$U_z(0) = \frac{Ft}{\pi p r^3} \left[U_1 H(c_l t - r) H(r - c_t t) + \right. \\ \left. + U_2 H(c_t t - r) H(r - c_R t) \right], \quad (58)$$

где

$$U_1 = a^2 \left[f_1(\theta_1^{(l)}) \frac{\theta_1^{(l)}}{\sqrt{\theta_1^{(l)2} + \gamma^2}} + f_1(\theta_3^{(l)}) \frac{\theta_3^{(l)}}{\sqrt{\theta_3^{(l)2} + \gamma^2}} + \right. \\ \left. + f_1(\theta_{Rl}) \frac{|\theta_{Rl}|}{|\sqrt{\theta_{Rl}^2 + \gamma^2}|} \right] + 2 \left[f_3(\theta_1^{(t)}) \frac{\sqrt{\theta_1^{(t)2} - \alpha^2}}{\sqrt{\theta_1^{(t)2} - \xi^2}} + \right.$$

$$+\ell_3(\theta_3^{(t)}) \frac{\sqrt{\theta_3^{(t)2} - a^2}}{\sqrt{\theta_3^{(t)2} - \xi^2}} + \ell_3(\theta_{Rt}) \frac{\sqrt{a^2 - \theta_{Rt}^2}}{\sqrt{\xi^2 - \theta_{Rt}^2}} \Bigg], \quad (59)$$

$$U_2 = 2 \left[a^2 \ell_1(\theta_{Rt}) \frac{|\theta_{Rt}|}{\sqrt{\theta_{Rt}^2 + \gamma^2}} + 2 \ell_4(\theta_{Rt}) \frac{|\sqrt{\theta_{Rt}^2 - a^2}|}{\sqrt{\theta_{Rt}^2 + \gamma_0^2}} \right] \quad (60)$$

Учитывая явный вид всех входящих в (59), (60) величин, выражение (58) можно записать в следующей форме:

$$\begin{aligned} u_z(0) = & \frac{FtaH(r-c_t t)H(c_t t-r)}{16\pi\rho} \left\{ \frac{s_1(s_1-2)^2 \sqrt{s_1-a^2}}{(s_1 c_t^2 t^2 - r^2)^{3/2} [a^2(s_1^2 - 6s_1 + 6) + 2(2s_1 - 3)]} + \right. \\ & + \frac{s_2(s_2-2)^2 \sqrt{s_2-a^2}}{(s_2 c_t^2 t^2 - r^2)^{3/2} [a^2(s_2^2 - 6s_2 + 6) + 2(2s_2 - 3)]} - \\ & - \frac{s_3(s_3-2)^2 \sqrt{a^2-s_3}}{(r^2 - c_R^2 t^2)^{3/2} [a^2(s_3^2 - 6s_3 + 6) + 2(2s_3 - 3)]} \Big\} - \\ & - \frac{Ftas_3(s_3-2)^2 \sqrt{a^2-s_3} H(c_t t-r) H(r-c_R t)}{8\pi\rho(r^2 - c_R^2 t^2)^{3/2} [a^2(s_3^2 - 6s_3 + 6) + 2(2s_3 - 3)]}. \end{aligned} \quad (61)$$

Таким образом, метод контурного интегрирования /9/ позволяет получить точное аналитическое выражение в элементарных функциях для вертикальных смещений границы упругого полупространства при воздействии на нее нормальной точечной нагрузки, зависимость которой от времени описывает дельта-функция Дирака. Для произвольно меняющейся по времени нагрузки $p(t)$ смещения u_p могут быть вычислены по формуле Диамеля (/7/, стр.209):

$$u_p(t) = \int_0^t p(t-\tau) u_\delta(\tau) d\tau,$$

где $U_0(t)$ - отклик среды на воздействие в форме дельта-импульса.

Из (61) следует, что на расстоянии r от источника вертикальная компонента смещений поверхности полупространства отлична от нуля в моменты времени $r/c_t < t < r/c_R$. Короткоимпульсный источник вертикальной силы генерирует на поверхности полупространства ζ -спределенное возмущение, длительность которого определяется дистанцией до точки наблюдения и скоростями упругих волн.

При рассмотрении возбуждения упругих волн в полупространстве гармоническими источниками принято отождествлять поле рэлеевской волны с вычетом в полюсе $K = K_R$, даваемом решением уравнения /2, 3/

$$(K_t^2 - 2K_R^2)^2 + 4K_R^2 \sqrt{K_t^2 - K_R^2} \sqrt{K_t^2 - K_R^2} = 0.$$

Представляет интерес выяснить, насколько подобная операция правомерна для импульсных источников.

Вертикальные смещения поверхности полупространства можно записать в следующем виде

$$U_z(0) = \frac{iF}{4\pi^2 p c_t^4} \int_{-\infty}^{\infty} d\omega \int_0^{\infty} \frac{\omega^2 \sqrt{\omega^2/c_t^2 - K^2} e^{-i\omega t}}{\left(\frac{\omega^2}{c_t^2} - 2K^2\right)^2 + 4K^2 \sqrt{\frac{\omega^2}{c_t^2} - K^2} \sqrt{\frac{\omega^2}{c_t^2} - K^2}} J(kr) K dk. \quad (62)$$

В интеграле по ω в (62) замкнем контур интегрирования полуокружностью бесконечно большого радиуса в нижней полуплоскости и примем во внимание только вклад вычетов в полюсах $\omega = \pm c_R K$. Оставшийся интеграл по K является табличным (/12/, стр. I83, № 2.I2.8.4). В результате интегрирования получаем:

$$U_{zR}(0) = - \frac{F t \alpha S_3 (S_3 - 2)^2 \sqrt{a^2 - S_3} H(r - c_R t)}{8\pi p (r^2 - c_R^2 t^2)^{3/2} [a^2 (S_3^2 - 6S_3 + 6) + 2(2S_3 - 3)]}. \quad (63)$$

Сравнивая (63) с точной формулой (61) видим, что сумма вычетов в рэлеевских полюсах правильно описывает вертикальные смещения поверхности полупространства при возбуждении ее точечным импульсным источником во временном интервале $r/c_t < t < r/c_R$.

Автор выражает глубокую благодарность Б.Е.Немцову за плодотворные дискуссии и ряд ценных замечаний.

Л и т е р а т у р а

- I. Lamb H. On the propagation of tremors over the surface of an elastic solid.//Philos.Trans.Roy.Soc.London. - 1904. - V. A203. - P.1-42.
2. Аки К., Ричардс П. Количественная сейсмология./Пер.с англ. под ред. А.Л.Левшина. Т.1. - М.: Мир. - 1983. - 520 с.
3. Ewing W.M., Jardetsky W.S., Press F. Elastic waves in layered media.//New York, McGraw-Hill Book Co., Inc. - 1957. - 380 p.
4. Новацкий В. Теория упругости. - М.: Мир. - 1975. - 872 с.
5. Петрашень Г.И. Основы математической теории распространения упругих волн. В кн. : Вопросы динамической теории распространения сейсмических волн. Вып.18. - Л.: Наука (ленинград . отделение). - 1978. - С.1-248.
6. Чичинин И.С. Вибрационное излучение сейсмических волн. -М.: Недра. - 1984. - 224 с.
7. Сагомонян А.Я. Волны напряжения в сплошных средах. - М.:Изд-во МГУ. - 1985. - 416 с.
8. Петрашень Г.И., Молотков Л.А., Крауклис П.В. Волны в слоисто-однородных изотропных упругих средах (метод контурных интегралов в нестационарных задачах динамики). - Л.: Наука(ленинград.отделение). - 1982. - 288 с.
9. Курин В.В., Немцов Б.Е., Эйдман В.Я. Предвестник и боковые волны при отражении импульсов от границы раздела двух сред //УФН. - 1985. - Т.147, Вып.1. - С.157-180.

- I0. Немцов Б.Е., Эйдман В.Я. Переходное излучение в акустике. Точные решения//Акуст.ж. - 1987. - Т.33, № 2. - С.362-363.
- II. Немцов Б.Е., Разин А.В. Излучение звука источником массы, пересекающим границу раздела сред.//Препринт № 22I. - Горький: НИРФИ. - 1986. - 37 с.
- I2. Прудников А.П., Брычков Ю.А., Маричев О.И. Интегралы и ряды. Специальные функции. - М.: Наука. - 1983. - 752 с.

Дата поступления статьи
26 февраля 1988 г.

Андрей Владимирович Резин

К РЕШЕНИЮ ЗАДАЧИ ЛЭМ БА
ДЛЯ ОДНОРОДНОГО ПОЛУПРОСТРАНСТВА

Подписано к печати 19.04.88г. № 00779, формат 60x84/16
Бумага лисчая. Печать офсетная. Объем 2,03 усл. п. л.
Заказ 4687. Тираж 120. Бесплатно

Отпечатано на ротапризте в НИРФИ